

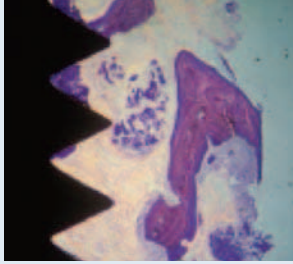
3i T3 IMPLANT™

Preservation By Design®



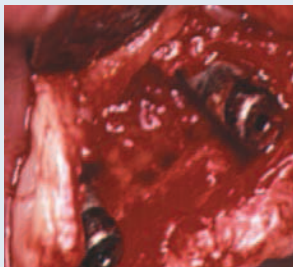
La Preservación es la clave del Resultado Estético

Retos Tradicionales para obtener
resultados estéticos:



Osteointegración retardada

Los implantes que carecen de una topografía de superficie compleja¹ y de estabilidad primaria requieren más tiempo para su osteointegración.²



Peri-implantitis

La prevalencia de peri-implantitis referida en implantes fue superior al 12 %.^{3,4}



Pérdida de hueso crestal

Como media, la recesión del hueso crestal del implante puede ser superior a 1,5 mm durante el primer año de función, lo que comprometerá el resultado estético.⁵

Presentamos el **3i T3 IMPLANT™**

Diseñado para lograr resultados estéticos mediante la preservación de los tejidos

Superficie Híbrida Contemporánea

- Gracias a su compleja topografía multi-superficie

Integridad del Sellado

- Gracias a su firme y ajustada conexión pilar/implante

Platform Switching Integrado

- Gracias a su medializada unión pilar/implante



Diseño Híbrido Contemporáneo

Estabilidad primaria^{6,7,8}

El contacto inicial entre el hueso y el implante es el principal responsable de la estabilidad del implante⁹. Las especificaciones de los implantes **3i T3**[®] están sujetos a rigurosas tolerancias para ofrecer un íntimo ajuste entre el implante y la osteotomía, creando un sistema de implantes dentales que ayuda a conseguir estabilidad primaria.

Osteointegración^{10,11}

En estudios preclínicos*, los implantes **3i T3** con superficie DCD[®] han demostrado un aumento de la fuerza de integración durante la fase de cicatrización comparada con superficies con topografías menos complejas.¹¹

Mitigación del riesgo de Peri-implantitis^{12,13}

El implante **3i T3** utiliza la probada tecnología de superficie OSSEOTITE[®] en la zona coronal del implante. En el estudio realizado con cinco años de seguimiento**, la superficie con doble grabado ácido del implante OSSEOTITE no presentó mayor riesgo de peri-implantitis ni de complicaciones del tejido blando, versus la superficie mecanizada¹²

Estudio multicéntrico, aleatorizadamente controlado, de 5 años de duración sobre la incidencia de peri-implantitis en implantes híbridos e implantes con grabado ácido en toda la superficie del implante.^{**}

*Los estudios preclínicos no son necesariamente indicativos de resultados clínicos

**Zetterqvist et al. A Prospective, Multicenter, Randomized Controlled 5-Year Study Of Hybrid And Fully Etched Implants For The Incidence Of Peri-implantitis. J Periodontol April 2010.

Las características de rugosidad a nivel micrométrico fino y grueso crean un índice de rugosidad medio de superficie de $1,4 \mu\text{m}^{\text{L4}}$

Características micrométricas finas y gruesas

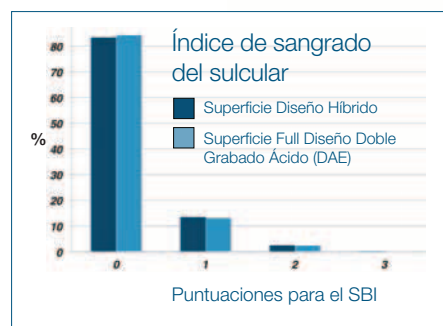
Gruesa: (10+ micras) mediante un chorreado con un medio reabsorbible de fosfato cálcico

Fina: (1-3 micras) mediante un doble grabado ácido (DAE) sobre la superficie chorreada

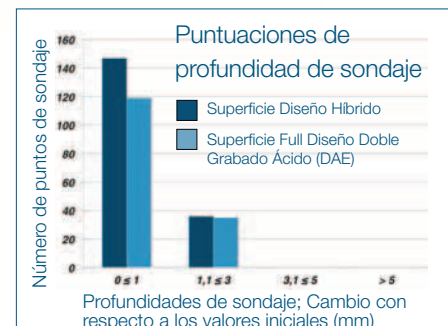


Opción de características a nano-escala a lo largo de toda la longitud del implante

mediante los depósitos cristalinos discretos (DCD) de fosfato cálcico



84 % de todos los resultados SBI fueron "0" (ausencia de sangrado); 13 % de los resultados fueron "1" – un punto aislado de sangrado



Ningún implante (de prueba o control) mostró variaciones en la profundidad de sondaje superiores a 3,0 mm.

Ciento doce pacientes fueron enrolados en siete centros recibiendo 139 implantes de control y 165 de test (total: 304 implantes).

Integridad del Sellado

Una firme y ajustada conexión pilar/implante minimiza micromovimientos del pilar y reduce el potencial de microfiltraciones.¹⁵

Resistencia de sellado Pilar/implante

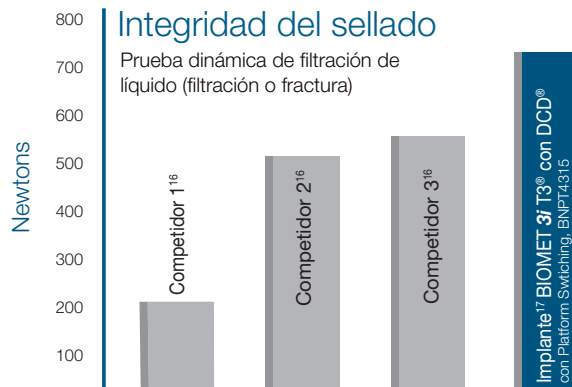
Conexión diseñada para reducir las microfiltraciones gracias a las rigurosas exigencias de tolerancia y maximización de las fuerzas de precarga.

Fuerza de precarga Pilar/implante

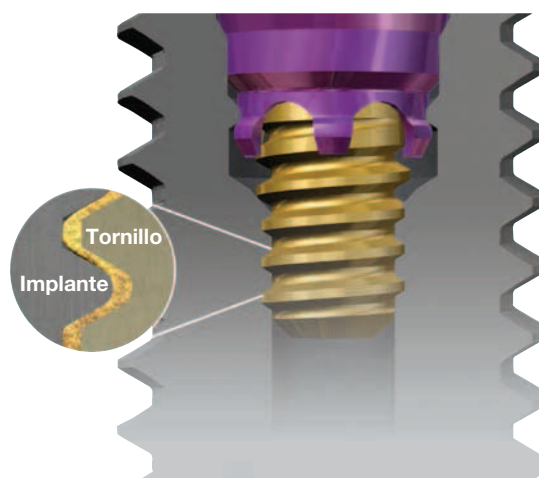
La utilización del tornillo Gold-Tite® aumenta la fuerza de precarga entre pilar/implante en un 113 % vs. A un tornillo sin cobertura.¹⁸

La lubricación de la superficie Patentada* Gold-Tite permite al tornillo rotar más, aumentando la fuerza de precarga y maximizando la estabilidad del pilar.¹⁹

*USPTO 6287116 y patentes adicionales pendientes.



- El test de integridad del sellado fué realizado por BIOMET 3i en Julio 2011 - Junio 2012. Para testar los sistemas de implantes se desarrollo y realizó un test dinámico de carga. La estructura del test se adaptó desde la norma ISO14801, implantes - dentales - test dinámico de fatiga para implantes dentales endoóseos.
- Se evaluaron cinco muestras de implantes BIOMET 3i y de tres sistemas de la competencia.
- El significado de Resistencia de sellado (N) que se detalla en el gráfico es cuando cada uno de los sistemas filtran o fracturan.
- Los resultados de los test en el laboratorio no son necesariamente indicativos de resultados clínicos.



Platform Switching Integrado

Remodelación ósea con modificación de plataforma integrada

El cambio de plataforma integrada medializa la unión implante-pilar (IAJ) hacia el centro, creando el ancho biológico entre el tejido conectivo y la IAJ, facilitando así el mantenimiento de los niveles óseos.²⁰

Reducción de recesión ósea crestal

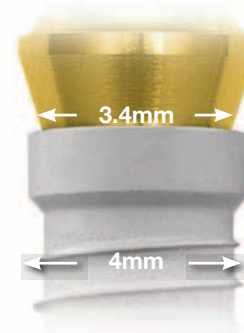
Los estudios indican que los implantes con platform switching integrado demostraron una pérdida de hueso crestal de tan solo 0.37mm.^{**21}



Cortesía del Dr. Xavier Vela¹, España.

Reducción de la remodelación del hueso crestal versus implantes sin cambio de plataforma²²

Una union pilar/implante medializada ofrece soporte para el tejido conectivo, reduciendo el potencial de recesión en 50%.^{**}



**Los resultados no son necesariamente típicos, indicativos o representativos para todos los pacientes destino.

Presentación de un caso clínico del implante **3i T3** con DCD®

Tratamiento clínico realizado por el Dr. Tiziano Testori† y el Dr. Fabio Scutella†



Fig. 1
Incisivos centrales
desahuciados.

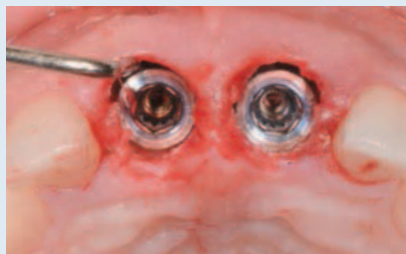


Fig. 2
Se colocaron dos implantes **3i T3** DCD
cónicos de 5 mm (D) x 4 mm (P) x 13 m (L)
inmediatamente después de las extracciones.



Fig. 3
Dos postes provisionales PreFormance®
ajustados intraoralmente.



Fig. 4
Se cementó un provisional de resina
ferulizado a los postes PreFormance.



Fig. 5
Seguimiento al mes.



Fig. 6
Resultado final con la prótesis definitiva
seis meses después de las extracciones
y la colocación de los implantes.
Obsérvese el mantenimiento de la
anchura buco-lingual.



Fig. 7
Radiografía periapical
de control a los
6 meses que muestra
la preservación
ósea tanto mesial
como distal.

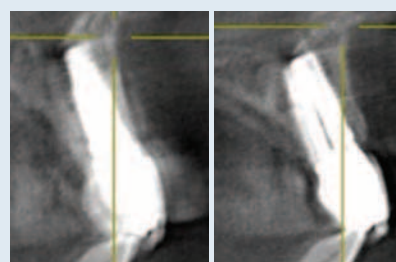


Fig. 8
Imágenes de haz cónico a
los seis meses. Obsérvese que el
grosor de la pared vestibular se
mantiene en 2,7 mm.

Referencias

1. Sullivan DY, Sherwood RL, Porter SS. Long-term performance of OSSEOTITE® Implants: A 6-year follow-up. *Compendium*. 2001 Apr;Vol.22, No.4.
2. Javed F, Romanos GE. The role of primary stability for successful immediate loading of dental implants. A literature review. *J Dent*. 2010 Aug;38(8):612-20. Epub 2010 Jun 11. Review.
3. Fransson C, Lekholm U, Jemt T, Berglundh T. Prevalence of subjects with progressive bone loss at implants. *Clinical Oral Implants Research*. 2005;16:440-446.
4. Zitzmann NU, Berglundh T. Definition and prevalence of peri-implant diseases. *J Clin Perio*. 2008;35:286-291.
5. Lazzara RJ,† Porter SS. Platform Switching: A new concept in implant dentistry for controlling post restorative crestal bone levels. *Int J Periodontics Restorative Dent*. 2006;26:9-17.
6. Östman PO†, Wennerberg A, Ekstubb A, et al. Immediate occlusal loading of NanoTite™ tapered implants: A prospective 1-year clinical and radiographic study. *Clin Implant Dent Relat Res*. 2012 Jan 17.
7. Block MS†. Placement of implants into fresh molar sites: Results of 35 cases. *J Oral Maxillofac Surg*. 2011 Jan;69(1):170-174.
8. Meltzer AM†. Immediate implant placement and restoration in infected sites. *Int J Periodontics Restorative Dent*. 2012 Oct;32(5):e169-173.
9. Meredith N. Assessment of implant stability as a prognostic determinant. *Int J Prosthodont*. 1998 Sep-Oct;11(5):491-501.
10. Nevins M†, Nevins ML, Schubach P, Fiorellini J, Lin Z, Kim DM. The impact of bone compression on bone-to-implant contact of an osseointegrated implant: A canine study. *Int J Periodontics Restorative Dent*. 2012 Dec;32(6):637-645.
11. Mendes V, Davies JE. Early Implant healing at implant surfaces of varying topographical complexity. *Poster Presentation: Academy of Osseointegration, 26th Annual Meeting*; March 2011; Washington, DC. http://biomet3i.com/pdf/Posters/Poster_Early_Periimplant_Healing.pdf.
12. Zetterqvist L, Feldman S, Rotter B, et al. A prospective, multicenter, randomized-controlled 5-year study of hybrid and fully etched implants for the incidence of peri-implantitis. *J Periodontol*. 2010 April;81:493-501.
13. Lang NP, Berglundh T. Periimplant diseases: Where are we now?-Consensus of the Seventh European Workshop on Periodontology; Working Group 4 of Seventh European Workshop on Periodontology. *J Clin Perio*. 2011 Mar;38 Suppl 11:178-181.
14. Gubbi P†, Towse R†, Quantitative and qualitative characterization of various dental implant surfaces. *Poster Presentation P421: European Association For Osseointegration, 20th Meeting*; October 2012; Copenhagen, Denmark. (http://www.biomet3i.com/Pdf/Posters/Poster_421_EAO_Final.pdf).
15. Lazzara R.† Dental implant system design and the potential impact on long-term aesthetics: A review of the 3i T3™ Tapered Implant. *ART1193EU BIOMET 3i White Paper*. BIOMET 3i, Palm Beach Gardens, Florida, USA. http://biomet3i.com/Pdf/EMEA/ART1193C_T3%20Implant_White_Paper_EU.pdf
16. Suttin et al†. A novel method for assessing implant-abutment connection seal robustness. *Poster Presentation: Academy of Osseointegration, 27th Annual Meeting*; March 2012; Phoenix, AZ. http://biomet3i.com/Pdf/Posters/Poster_Seal%20Study_ZS_AO2012_no%20logo.pdf
17. Suttin Z†, Towse R†. Dynamic loading fluid leakage characterization of dental implant systems. *ART1205EU BIOMET 3i White Paper*. BIOMET 3i, Palm Beach Gardens, Florida, USA. <http://biomet3i.com/Pdf/EMEA/ART1205EU%20Dynamic%20Loading%20T3%20White%20Paper.pdf>
18. Suttin Z†, Towse R†. Effect of abutment screw design on implant system seal performance. *Presented at the European Association for Osseointegration, 20th Annual Scientific Meeting*; October 2012; Copenhagen, Denmark. http://biomet3i.com/Pdf/Posters/P-450_Effect_of_Screw_Design_on_Implant_Seal.pdf
19. Byrne D, Jacobs S, O'Connell B, Houston F, Claffey N. Preloads generated with repeated tightening in three types of screws used in dental implant assemblies. *J. Prosthodont*. 2006 May-Jun;15(3):164-171.
20. Lazzara RJ, Porter SS. Platform switching: A new concept in implant dentistry for controlling postrestorative crestal bone levels. *Int J Perio Rest Dent*. 2006;26:9-17.
21. Östman PO,† Wennerberg A, Albrektsson T. Immediate occlusal loading of NanoTite prevail implants: A prospective 1-year clinical and radiographic study. *Clin Implant Dent Relat Res*. 2010 Mar;12(1):39-47.
22. Boitel N, Andreoni C, Grunder U†, Naef R, Meyenberg K†. A three year prospective, multicenter, randomized-controlled study evaluating platform-switching for the preservation of peri-implant bone levels. *Poster Presentation P83: Academy of Osseointegration, 26th Annual Meeting*: 2011 March 3-5; Washington DC. http://biomet3i.com/Resource%20Center/Publications%20of%20Interest/Platform_Switching_for_the_Preservation_of%20Peri_Implant%20Bone%20Levels.pdf

†Dr. Block, Dr. Goené, Dr. Grunder, Dr. Lazzara, Dr. Makigusa, Dr. Meltzer, Dr. Méndez, Dr. Meyenberg, Dr. Nevins, Dr. Östman, Dr. Rodríguez, Dr. Segalá, Dr. Scutellá, Dr. Tarnow, Dr. Testori y Dr. Vela tienen una relación contractual con BIOMET 3i LLC rcomo resultado de sus ponencias, trabajos de consultoría y otros servicios profesionales.

††Dr. Gubbi, Sr. Suttin y Sr. Towse Towse han contribuido a la investigación mientras eran empleados de BIOMET 3i.

Las referencias 6-10 analizan el macro-diseño de de los implantes cónicos de BIOMET 3i , el cual se incorpora al implante 3i T3®.

Las referencias 10-13 analizan los implantes OSSEOTITE® y/o NanoTite™ con tecnología de doble grabado ácido y/o la tecnología con DCD® de BIOMET 3i, la cual es incorporada al implante 3i T3.

Las referencias 20-22 analizan los implantes PREVAIL® de BIOMET 3i con un diseño de modificación de plataforma integrada, la cual es incorporada al implante 3i T3.

Presentamos el **3i T3 IMPLANT™**

Diseñado para lograr resultados
estéticos mediante la preservación
de los tejidos

Superficie Híbrida Contemporánea

- Gracias a su compleja topografía multi-superficie

Integridad del Sellado

- Gracias a su firme y ajustada conexión pilar/implante

Platform Switching Integrado

- Gracias a su medializada unión pilar/implante




(D) = Diámetro
(P) = Plataforma


Información para pedidos

Implantes Cónicos


3i T3®

|  BOPT4313 | Longitud | 4 mm (D) x 3,4 mm (P) | 5 mm (D) x 4,1 mm (P) | 6 mm (D) x 5 mm (P) |
|---|----------|--------------------------|--------------------------|------------------------|
| | 8,5 mm | BOPT4385 | BOPT5485 | BOPT6585 |
| | 10 mm | BOPT4310 | BOPT5410 | BOPT6510 |
| | 11,5 mm | BOPT4311 | BOPT5411 | BOPT6511 |
| | 13 mm | BOPT4313 | BOPT5413 | BOPT6513 |
| | 15 mm | BOPT4315 | BOPT5415 | BOPT6515 |


3i T3 sin Platform Switching

|  BOST413 | Longitud | 3,25 mm (D) x 3,4 mm (P) | 4 mm (D) x 4,1 mm (P) | 5 mm (D) x 5 mm (P) | 6 mm (D) x 6 mm (P) |
|--|----------|-----------------------------|--------------------------|------------------------|------------------------|
| | 8,5 mm | BOST3285 | BOST485 | BOST585 | BOST685 |
| | 10 mm | BOST3210 | BOST410 | BOST510 | BOST610 |
| | 11,5 mm | BOST3211 | BOST411 | BOST511 | BOST611 |
| | 13 mm | BOST3213 | BOST413 | BOST513 | BOST613 |
| | 15 mm | BOST3215 | BOST415 | BOST515 | BOST615 |

3i T3 con DCD®


|  BNPT4313 | Longitud | 4 mm (D) x 3,4 mm (P) | 5 mm (D) x 4,1 mm (P) | 6 mm (D) x 5 mm (P) |
|---|----------|--------------------------|--------------------------|------------------------|
| | 8,5 mm | BNPT4385 | BNPT5485 | BNPT6585 |
| | 10 mm | BNPT4310 | BNPT5410 | BNPT6510 |
| | 11,5 mm | BNPT4311 | BNPT5411 | BNPT6511 |
| | 13 mm | BNPT4313 | BNPT5413 | BNPT6513 |
| | 15 mm | BNPT4315 | BNPT5415 | BNPT6515 |

3i T3 sin Platform Switching con DCD


|  BNST413 | Longitud | 3,25 mm (D) x 3,4 mm (P) | 4 mm (D) x 4,1 mm (P) | 5 mm (D) x 5 mm (P) | 6 mm (D) x 6 mm (P) |
|--|----------|-----------------------------|--------------------------|------------------------|------------------------|
| | 8,5mm | BNST3285 | BNST485 | BNST585 | BNST685 |
| | 10mm | BNST3210 | BNST410 | BNST510 | BNST610 |
| | 11,5mm | BNST3211 | BNST411 | BNST511 | BNST611 |
| | 13mm | BNST3213 | BNST413 | BNST513 | BNST613 |
| | 15mm | BNST3215 | BNST415 | BNST515 | BNST615 |

Implantes Paredes Paralelas


3i T3

|  BOPS4313 | Longitud | 4mm (D) x 3,4 mm (P) | 5mm (D) x 4,1 mm (P) | 6 mm (D) x 5 mm (P) |
|---|----------|-------------------------|-------------------------|------------------------|
| | 8,5 mm | BOPS4385 | BOPS5485 | BOPS6585 |
| | 10 mm | BOPS4310 | BOPS5410 | BOPS6510 |
| | 11,5 mm | BOPS4311 | BOPS5411 | BOPS6511 |
| | 13 mm | BOPS4313 | BOPS5413 | BOPS6513 |
| | 15 mm | BOPS4315 | BOPS5415 | BOPS6515 |


3i T3 sin Platform Switching

|  BOSS413 | Longitud | 3,25 mm (D) x 3,4 mm (P) | 4 mm (D) x 4,1 mm (P) | 5 mm (D) x 5 mm (P) | 6 mm (D) x 6 mm (P) |
|--|----------|-----------------------------|--------------------------|------------------------|------------------------|
| | 8,5 mm | BOSS385 | BOSS485 | BOSS585 | BOSS685 |
| | 10 mm | BOSS310 | BOSS410 | BOSS510 | BOSS610 |
| | 11,5 mm | BOSS311 | BOSS411 | BOSS511 | BOSS611 |
| | 13 mm | BOSS313 | BOSS413 | BOSS513 | BOSS613 |
| | 15 mm | BOSS315 | BOSS415 | BOSS515 | BOSS615 |
| 18 mm | BOSS318 | BOSS418 | N/A | N/A | |

3i T3 con DCD

|  BNPS4313 | Longitud | 4 mm (D) x 3,4 mm (P) | 5 mm (D) x 4,1 mm (P) | 6 mm (D) x 5 mm (P) |
|---|----------|--------------------------|--------------------------|------------------------|
| | 8,5 mm | BNPS4385 | BNPS5485 | BNPS6585 |
| | 10 mm | BNPS4310 | BNPS5410 | BNPS6510 |
| | 11,5 mm | BNPS4311 | BNPS5411 | BNPS6511 |
| | 13 mm | BNPS4313 | BNPS5413 | BNPS6513 |
| | 15 mm | BNPS4315 | BNPS5415 | BNPS6515 |

3i T3 sin Platform Switching con DCD

|  BNSS413 | Longitud | 3,25 mm (D) x 3,4 mm (P) | 4 mm (D) x 4,1 mm (P) | 5 mm (D) x 5 mm (P) | 6 mm (D) x 6 mm (P) |
|--|----------|-----------------------------|--------------------------|------------------------|------------------------|
| | 8.5 mm | BNSS385 | BNSS485 | BNSS585 | BNSS685 |
| | 10 mm | BNSS310 | BNSS410 | BNSS510 | BNSS610 |
| | 11,5 mm | BNSS311 | BNSS411 | BNSS511 | BNSS611 |
| | 13 mm | BNSS313 | BNSS413 | BNSS513 | BNSS613 |
| | 15 mm | BNSS315 | BNSS415 | BNSS515 | BNSS615 |
| 18 mm | BNSS318 | BNSS418 | N/A | N/A | |

Para obtener más información, póngase en contacto con su representante de ventas local de BIOMET 3i



Dentalmax
Biotecnología

Dentalmax S.A. Av. Santa Fe 2206 3º "D"
Buenos Aires - Argentina - CP (1123)
Tel: (+54 11) 4827-1001 - Fax: (+54 11) 4826-7373
info@dentalmax.com.ar - www.dentalmax.com.ar



3i T3, BellaTek design, DCD, Encode, GingiHue, Gold-Tite, OSSEOTITE, PreFormance, Preservation By Design and PREVAIL are registered trademarks of BIOMET 3i LLC. 3i T3 Implant design and Providing Solutions - One Patient At A Time are trademarks of BIOMET 3i LLC. Endobon is a registered trademark of BIOMET Deutschland. ©2013 BIOMET 3i LLC.

All trademarks herein are the property of BIOMET 3i LLC unless otherwise indicated. This material is intended for clinicians only and is NOT intended for patient distribution. This material is not to be redistributed, duplicated, or disclosed without the express written consent of BIOMET 3i. For additional product information, including indications, contraindications, warnings, precautions, and potential adverse effects, see the product package insert and the BIOMET 3i Website.



ART1190S
REV C 09/13